

实验八 电路过渡过程的研究

实验报告

姓名：彭程

学号：2020011075

班级：自 02

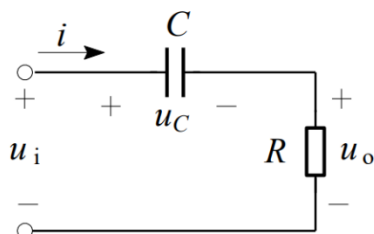
日期：2021 年 5 月 4 日

1. 实验目的

- (1) 研究 RC 微分电路和积分电路的过渡过程；
- (2) 研究 RLC 二阶电路的过渡过程；

2. 实验说明

(1) 微分电路：



$$u_o = Ri = RC \frac{du_C}{dt}$$

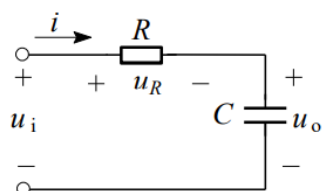
电路的时间常数 $\tau = RC$ 很小、 $u_C \gg u_o$ 时，输入电压 u_i 与电容电压 u_C 近似相等，即：

$$u_i \approx u_C$$

代入上式：

$$u_o \approx RC \frac{du_i}{dt}$$

(2) 积分电路：



$$u_o = \frac{1}{C} \int i dt = \frac{1}{C} \int \frac{u_R}{R} dt = \frac{1}{RC} \int u_R dt$$

即输出电压 u_o 与电阻电压 u_R 对时间的积分成正比，当电路的时间常数 $\tau = RC$ 很大、 $u_R \gg u_o$ 时，输入电压 u_i 与电阻电压 u_R 近似相等，即：

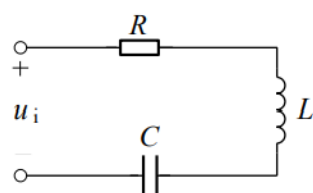
$$u_i \approx u_R$$

代入上式：

$$u_o \approx \frac{1}{RC} \int u_i dt$$

(3) RLC 电路的过渡过程：

● LC 串联

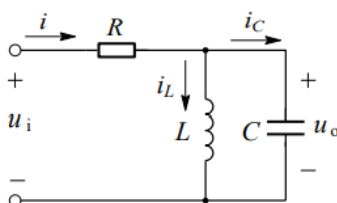


当 $R > 2\sqrt{\frac{L}{C}}$ 时, 过渡过程中的电压、电流具有非周期的特点。

当 $R < 2\sqrt{\frac{L}{C}}$ 时, 过渡过程中的电压、电流具有“衰减振荡”的特点: 此时衰减系数 $\delta = \frac{R}{2L}$; $\omega_0 = \frac{1}{\sqrt{LC}}$ 是在 $R=0$ 情况下的振荡角频率, 习惯上称为无阻尼振荡电路的固有角频率。在 $R \neq 0$ 时, 放电电路的固有振荡角频率 $\omega = \sqrt{\omega_0^2 - \delta^2}$ 将随 $\delta = \frac{R}{2L}$ 的增加而下降。

当电阻 $R = 2\sqrt{\frac{L}{C}}$ 时, 有 $\delta = \omega_0$, $\omega = \sqrt{\omega_0^2 - \delta^2} = 0$ 过程就变为非振荡性质了。

● LC 并联

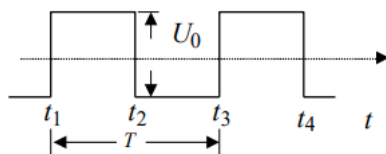


当 $R > \frac{1}{2}\sqrt{\frac{L}{C}}$ 时, 响应是非振荡性质的。

当 $R < \frac{1}{2}\sqrt{\frac{L}{C}}$ 时, 响应将形成衰减振荡, 这时电路的衰减系数为 $\delta = \frac{1}{2RC}$

(4) 用示波器观察过渡过程

电路中的过渡过程, 一般经过一段时间后便达到稳态。由于这一过程不是重复的, 所以无法用普通的阴极示波器来观察 (因为普通示波器只能显示重复出现的、即周期性的波形)。为了能利用普通示波器研究一个电路接到直流电压时的过渡过程, 采用在电路加上周期性的方波电压的做法。



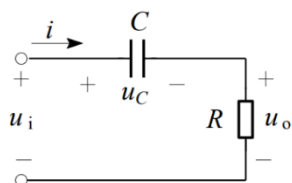
如图所示的方波信号使得电路中出现重复性的过渡过程, 于是这样便可以用普通示波器观察过渡过程。

注意, 因为要求在方波作用的半个周期内, 电路的过渡过程趋于稳态, 所以方波的周期应足够大。

3. 实验任务

3.1 预习计算

- (1) 已知微分电路中， u_i (方波脉冲) 的周期 $T = 1ms$ ，电阻 $R = 10k\Omega$ ，计算 $\tau = 0.02T$ ， $\tau = 0.1T$ ， $\tau = T$ ， $\tau = 10T$ 四种情况下的电容值。画出 $\tau = 0.02T$ 以及 $\tau = 10T$ 两种情况下稳态时输出电压的波形 (画两个周期)。



计算过程及作图如下：

由已知：

$$\tau = RC$$

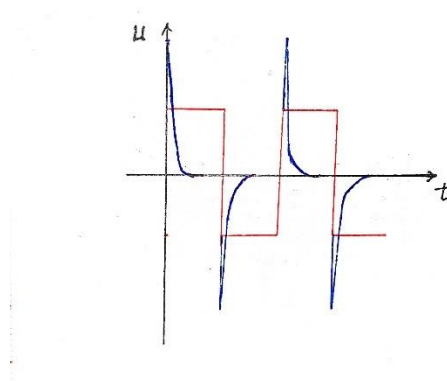
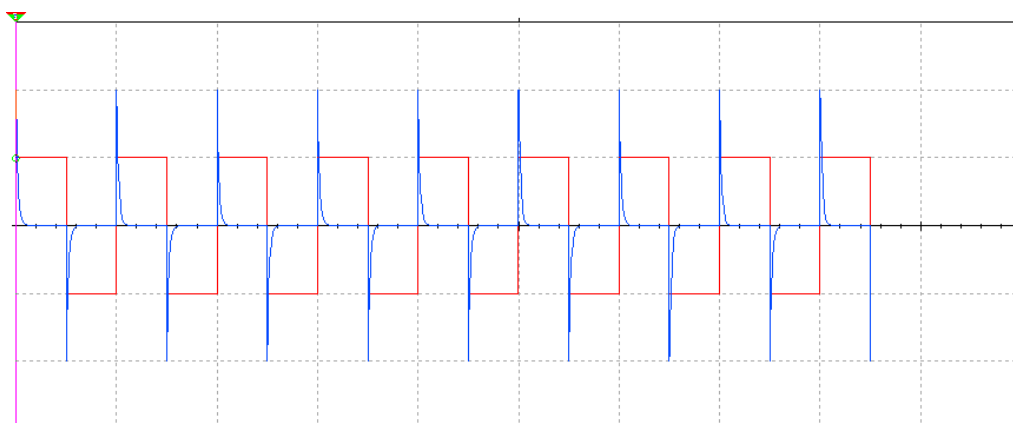
$$C = \frac{\tau}{R}$$

依次代入 $\tau = 0.02T$ ， $\tau = 0.1T$ ， $\tau = T$ ， $\tau = 10T$ 得到电容分别为：

$$C = 2nF, 10nF, 0.1\mu F, 1\mu F$$

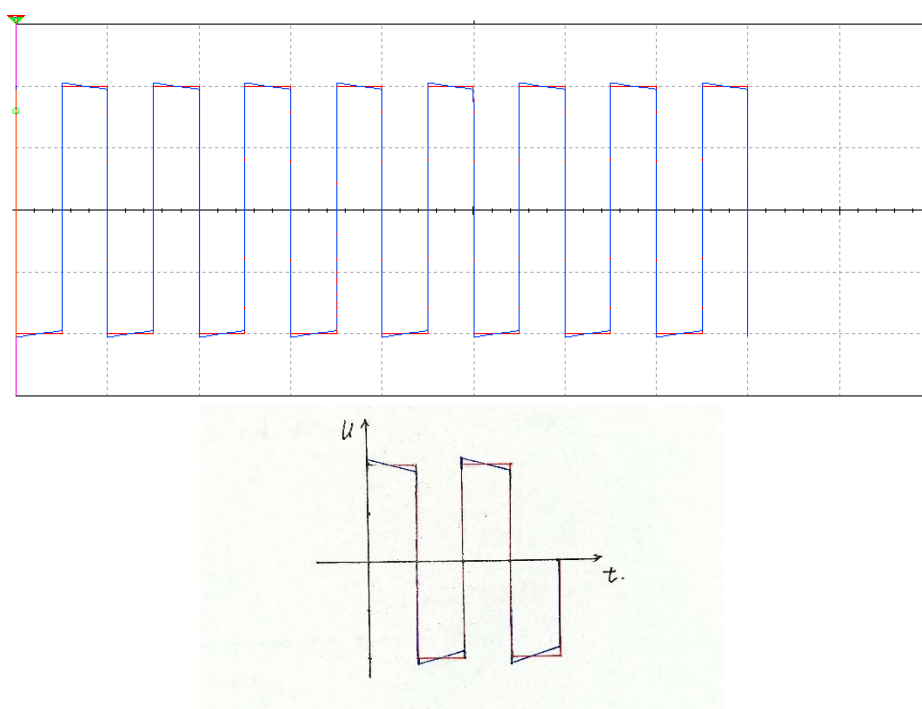
$\tau = 0.02T$ 即 $C = 2nF$ 时手绘和仿真波形如下：

红色为 u_i ，蓝色为 u_o

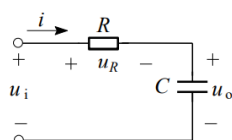


$\tau = 10T$ 即 $C = 1\mu F$ 时手绘和仿真波形如下：

红色为 u_i ，蓝色为 u_o



- (2) 已知积分电路中， u_i (方波脉冲) 的周期 $T = 1\text{ms}$ ，电阻 $R = 10\text{k}\Omega$ ，计算 $\tau = 5T$ ， $\tau = 0.1T$ 两种情况下的电容值。画出 $\tau = 5T$ 以及 $\tau = 10T$ 两种情况下稳态时输出电压的波形 (画两个周期)。



计算过程及作图如下：

$$\tau = RC$$

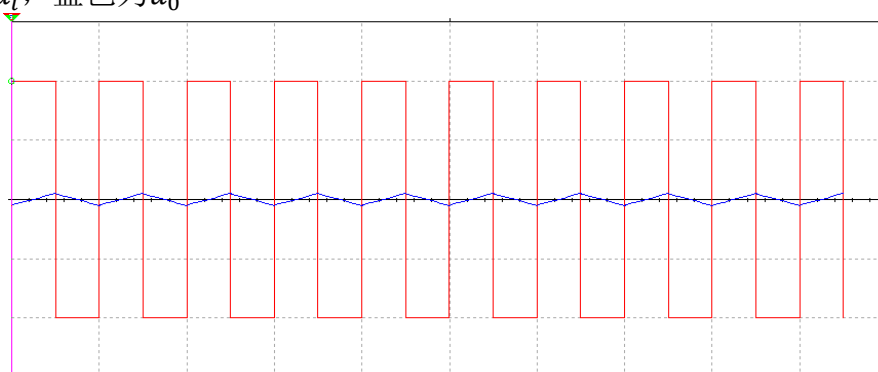
$$C = \frac{\tau}{R}$$

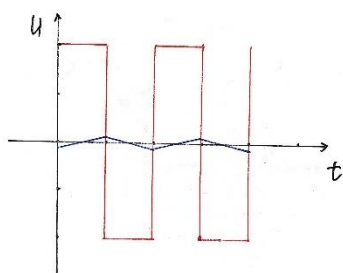
依次代入 $\tau = 5T$ ， $\tau = 0.1T$ 得到电容分别为：

$$C = 0.5\mu\text{F}, 10\text{nF}$$

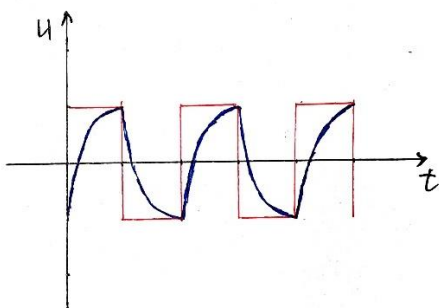
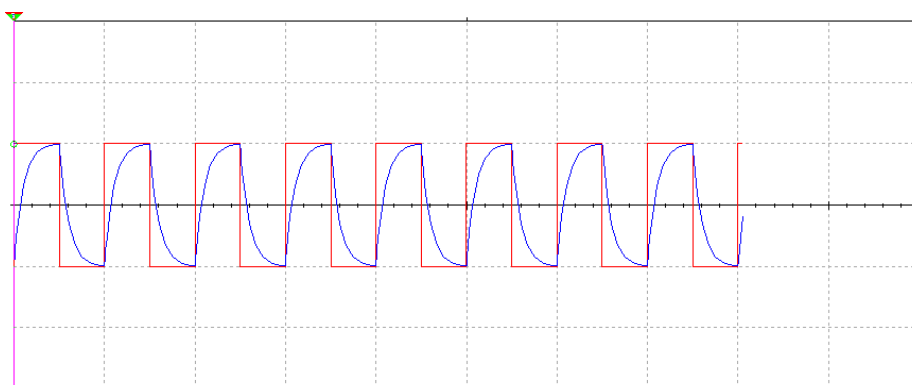
$\tau = 5T$ 即 $C = 0.5\mu\text{F}$ 时手绘和仿真波形如下：

红色为 u_i ，蓝色为 u_o

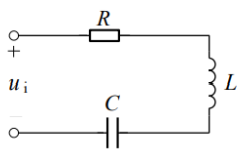




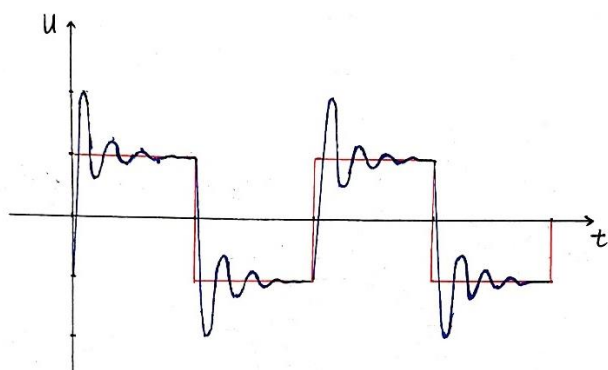
$\tau = 0.1T$ 即 $C = 10\text{nF}$ 时手绘和仿真波形如下：
红色为 u_i ，蓝色为 u_o



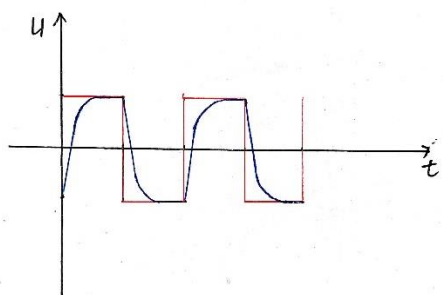
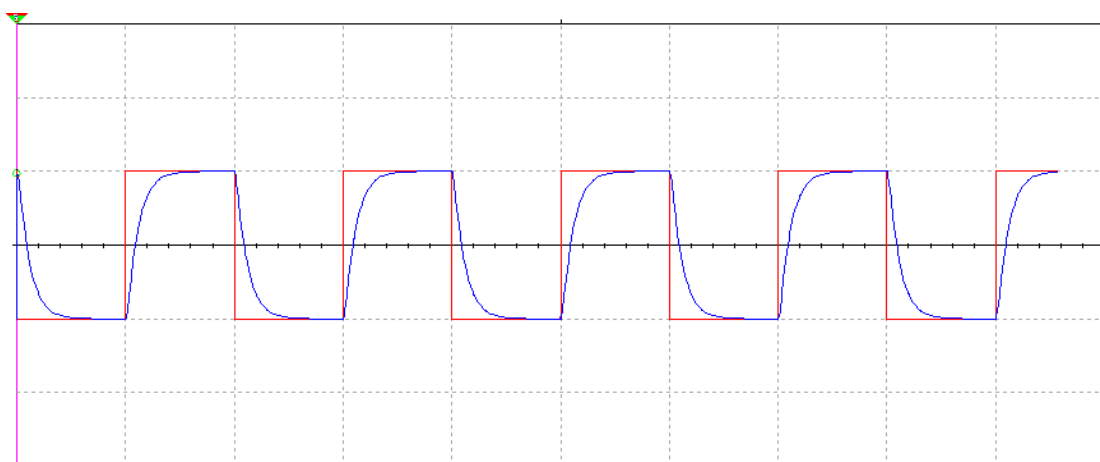
(3) 已知 RLC 串联电路中， $L = 0.5\text{H}$ ， $C = 0.1\mu\text{F}$ ，输入信号为 10ms 的方波脉冲，定性画出 $R = 1\text{k}\Omega$ 及 $R = 6\text{k}\Omega$ 两种情况下 u_c 的波形。



计算过程及作图如下：
红色为 u_i ，蓝色为 u_c
 $R = 1\text{k}\Omega$ ：



$R = 6 \text{ k}\Omega$:



3.2 实验任务

原始实验记录如下：

	U_1	U_2	T
(3)	1k Ω	2.00V	1.24V
(4)	3k Ω	9.40mV	80.0mV

电阻箱 DZ-1502.

电容箱 DC-1613

功率信号源. 15030438.

十进电感箱 03006998

数字示波器. 15016607

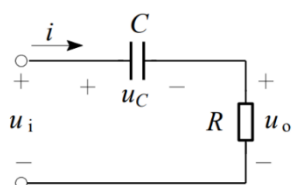
实验人: 彭程

日期: 2021.4.16

张敬华

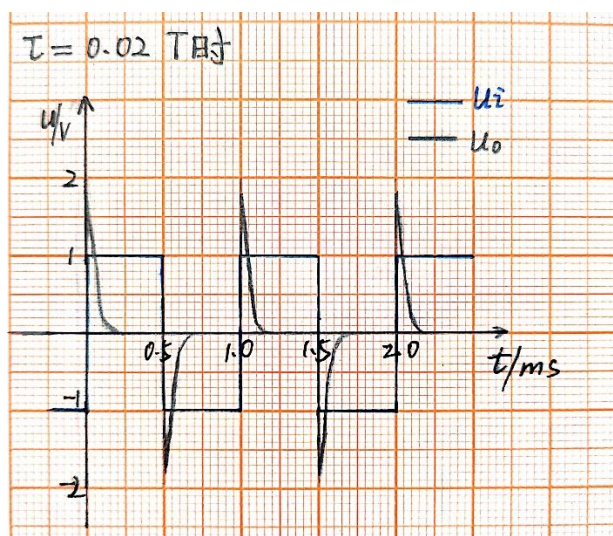
4/16

(1) 按照下图接线，方波脉冲的周期 $T = 1\text{ms}$ ，电阻 $R = 10\text{k}\Omega$ 观察并描绘 $\tau = 0.02T$ ， $\tau = 0.1T$ ， $\tau = T$ ， $\tau = 10T$ 四种情况下 u_i 以及 u_o 的波形。

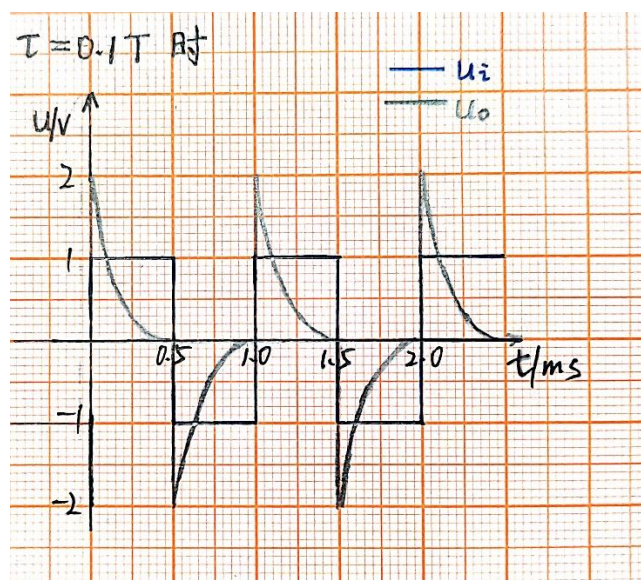


绘图如下：

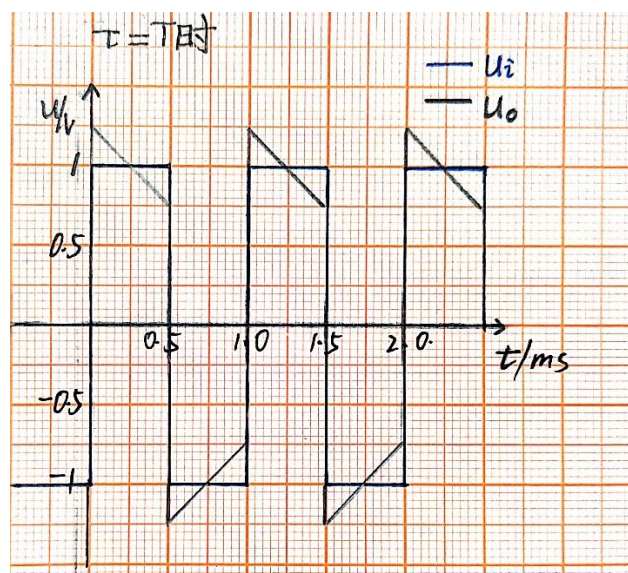
$\tau = 0.02T$ 时：



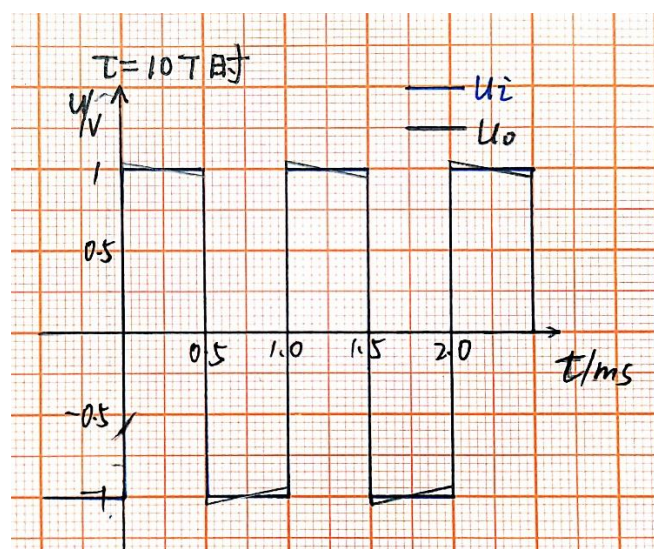
$\tau = 0.1T$ 时:



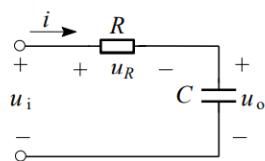
$\tau = T$ 时:



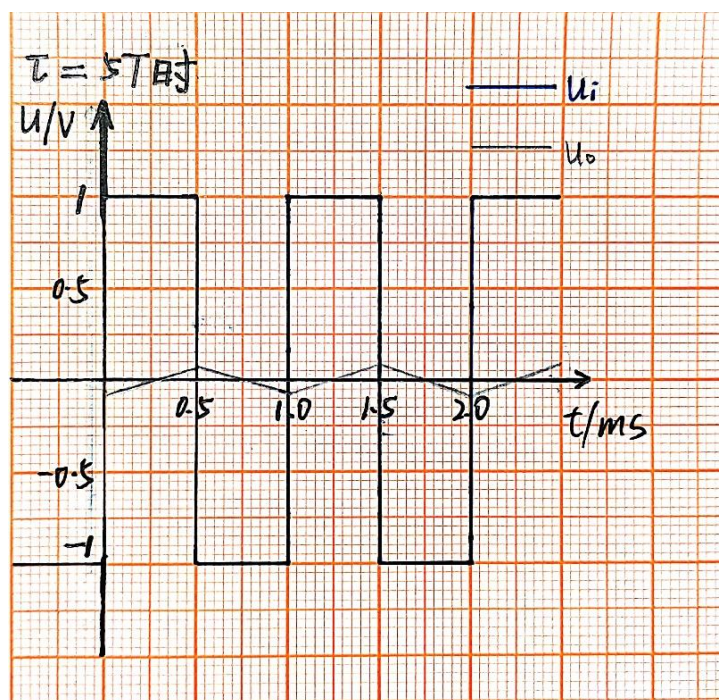
$\tau = 10T$ 时:



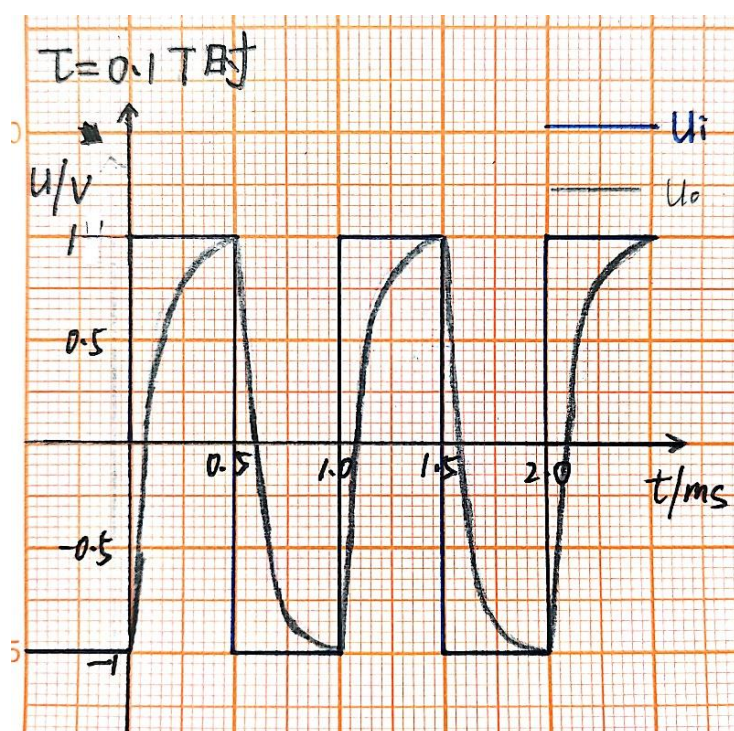
(2) 按照下图接线, u_i (方波脉冲的周期 $T = 1\text{ms}$, 电阻 $R = 10\text{k}\Omega$, 观察并描绘 $\tau = 5T$, $\tau = 0.1T$ 两种情况下 u_i 以及 u_o 的波形。



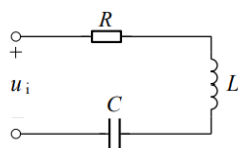
$\tau = 5T$ 时:



$\tau = 0.1T$ 时:

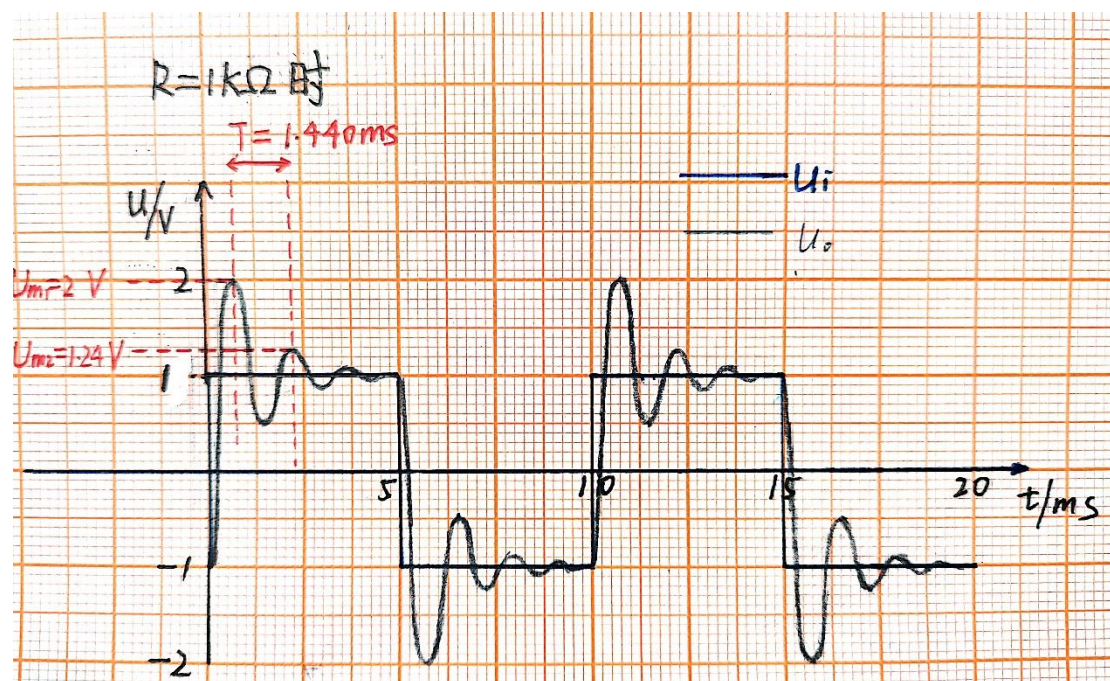


(3) 按下图电路接线, $L = 0.5H$, $C = 0.1\mu F$, 接入 $T = 10ms$ 的方波脉冲, 观察并描绘 $R = 1k\Omega$ 及 $R = 6k\Omega$ 两种情况下的 u_o 波形。记录必要的参数, 以便决定衰减系数和振荡频率。

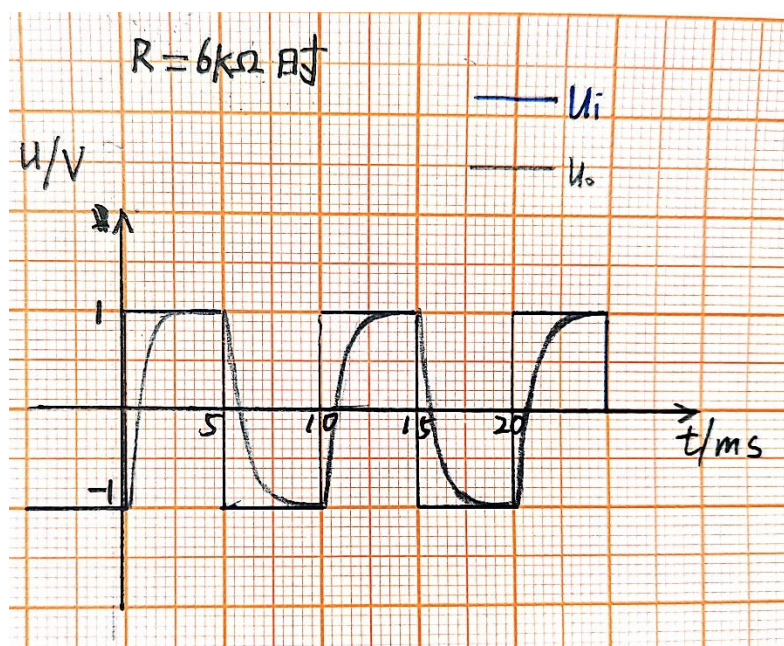


数据记录见原始实验记录, 波形绘制如下:

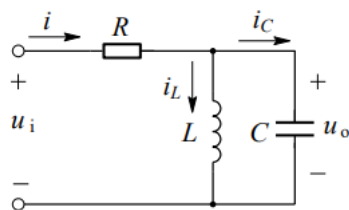
$R = 1k\Omega$ 时:



$R = 6k\Omega$ 时:

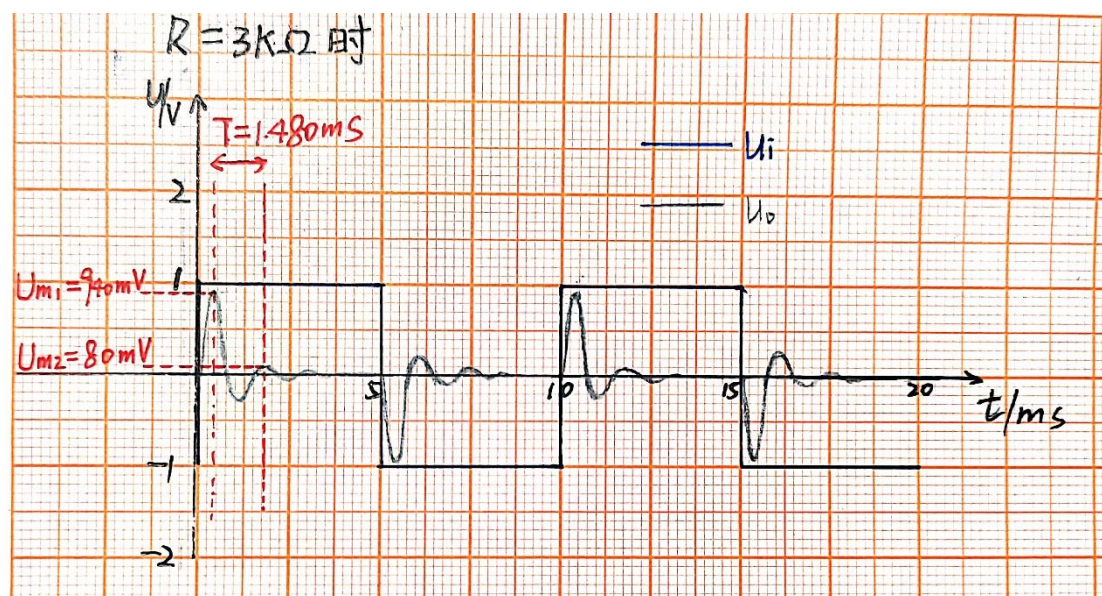


(4) 按下图电路接线, $L = 0.5H$, $C = 0.1\mu F$, 接入 $T = 10ms$ 的方波脉冲, 观察并描绘 $R = 3k\Omega$ 及 $R = 500\Omega$ 两种情况下的 u_o 波形。记录必要的参数, 以便决定衰减系数和振荡频率。

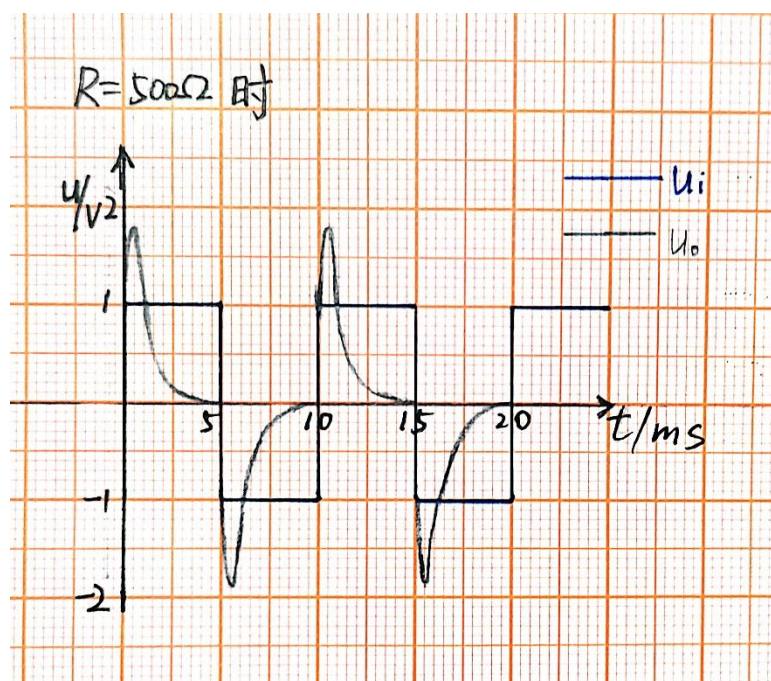


数据记录见原始实验记录, 波形绘制如下:

$R = 3k\Omega$ 时:

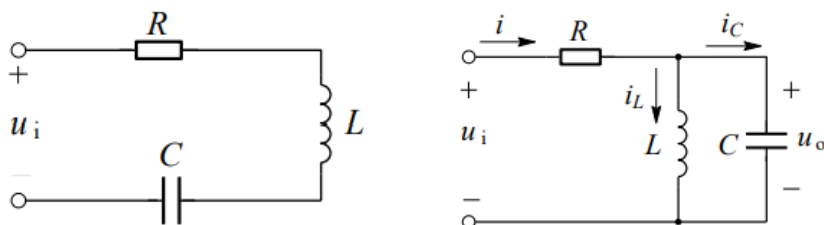


$R = 500\Omega$ 时:



4. 思考题

对比图 8.3 和图 8.4 两个电路的特性，电路元件的参数对电路响应的影响有什么不同？



对于 RLC 串联电路，零输入时；

$$u_c = L \cdot \frac{di_L}{dt} + R \cdot i_L$$

$$i_L = -C \cdot \frac{du_c}{dt}$$

联立得到：

$$\frac{d^2 u_c}{dt^2} + \frac{R}{L} \cdot \frac{du_c}{dt} + \frac{1}{LC} u_c = 0$$

衰减系数为：

$$\delta = \frac{R}{2L}$$

固有震荡角频率为：

$$\omega_0 = \frac{1}{\sqrt{LC}}$$

如果 $\delta^2 > \omega_0^2$ ，则为过阻尼： $u_c = A_1 e^{p_1 t} + A_2 e^{p_2 t}$ ；

如果 $\delta^2 = \omega_0^2$ ，则为临界阻尼： $u_c = A_1 e^{p_1 t} + A_2 t e^{p_2 t}$ ；

如果 $\delta^2 < \omega_0^2$ ，则为欠阻尼： $u_c = K e^{-\delta t} \sin(\omega t + \theta)$ ，其中 $\omega = \sqrt{\omega_0^2 - \delta^2}$ ；

如果 $\delta = 0$ ，则为无阻尼： $u_c = K \sin(\omega_0 t + \theta)$ ；

其中， p_1 、 p_2 为方程 $\lambda^2 + \frac{R}{L} \cdot \lambda + \frac{1}{LC} = 0$ 的特征根。

故当电感 L、电容 C 参数不变时，随着电阻值 R 的增加，衰减系数 δ 随之增加，从而电路状态逐渐从无阻尼转变为欠阻尼、临界阻尼和过阻尼。

对于 RLC 并联电路，同理可得：

$$\delta = \frac{1}{2RC}$$

$$\omega_0 = \frac{1}{\sqrt{LC}}$$

其特征方程为：

$$\lambda^2 + \frac{1}{RC} \cdot \lambda + \frac{1}{LC} = 0$$

如果 $\delta^2 > \omega_0^2$ ，则为过阻尼： $i_L = A_1 e^{p_1 t} + A_2 e^{p_2 t}$ ；

如果 $\delta^2 = \omega_0^2$ ，则为临界阻尼： $i_L = A_1 e^{p_1 t} + A_2 t e^{p_2 t}$ ；

如果 $\delta^2 < \omega_0^2$ ，则为欠阻尼： $i_L = K e^{-\delta t} \sin(\omega t + \theta)$ ，其中 $\omega = \sqrt{\omega_0^2 - \delta^2}$ ；

如果 $\delta = \infty$ ，则为无阻尼： $i_L = K \sin(\omega_0 t + \theta)$ ；

其中， p_1 、 p_2 为方程 $\lambda^2 + \frac{1}{RC} \cdot \lambda + \frac{1}{LC} = 0$ 的特征根。

故当电感 L、电容 C 参数不变时，随着电阻值 R 的减小，衰减系数 δ 随之增大，从而电路状态逐渐从无阻尼转变为欠阻尼、临界阻尼和过阻尼。

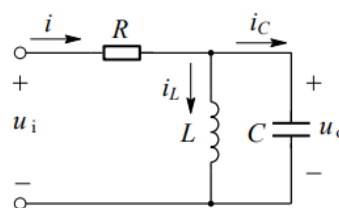
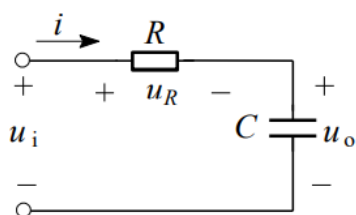
综上所述，元件参数会影响两种电路的响应形式，而且：当有输入时，输出 u_c 或 i_L 会叠加强制分量，但总的响应形式不发生改变；RLC 并联和串联电路成对偶关系，除 δ 不同外，特征方程和响应形式完全一致。

5. 终结报告要求

5.1 将实验任务(1)、(2)、(3)、(4)中记录的波形整理在方格纸上。

见 3.2 实验任务部分的波形绘制。

5.2 总结微分电路和积分电路的区别。



微分电路：

输出电压与输入电压成微分关系，由电容和电阻组成，可以使输入方脉冲波转换成尖脉冲波，其中电容在主电路中，电阻在干路中，时间常数 τ 要小于或者等于 1/10 倍的输入脉冲周期。

积分电路：

输出电压与输入电压成积分关系，由电阻和电容组成，可以使输入方波转换成三角波或者斜波，其中电阻串联在主电路中，电容在干路中，时间常数 τ 大于或者等于 10 倍输入脉冲周期。

5.3 实验任务(1)中有哪些与预习分析有差异的现象，如何分析？

在预习计算时，对于微分电路， $\tau=0.02T$ 和 $\tau=0.1T$ 的波形的输出电压峰值应该为输入方波信号峰值的两倍。在实验中，输入的方波信号幅值为 1V，但实际输出电压峰值小于 2V（ $\tau=0.02T$ 时峰值为 1.62V， $\tau=0.1T$ 是峰值为 1.92V），与预习计算的结果不符合。

可能的原因有：电容放电不彻底，有初始电量；由于电源内阻等因素导致实际输入电压偏小。

5.4 根据实验任务(3)中取得的数据，求出衰减系数 δ 和阻尼振荡角频率 ω_d ，再根据 R、L、C 参数算出 δ 和 ω_d ，并进行比较。

根据原始实验记录中的数据：

$R = 1k\Omega$ 时， $T = 1.440ms$ ， $U_{m1} = 2.00V$ ， $U_{m2} = 1.24V$ ，故：

$$\omega_d = \frac{2\pi}{T} = 4363.323 \text{ rad/s}$$

$$\delta = \frac{1}{T} \ln \frac{U_{m1} - 1}{U_{m2} - 1} = 991.053s^{-1}$$

根据 RLC 参数计算得到的 δ 和 ω_d ：

$$\delta = \frac{R}{2L} = 1000s^{-1}$$

$$\omega_d = \sqrt{\omega_0^2 - \delta^2} = 4358.599 \text{ rad/s}$$

计算得到误差如下：

$$e(\delta) = 0.90\% \text{ (实际值比理论值小)}$$

$$e(\omega_d) = 0.11\% \text{ (实际值比理论值大)}$$

实验结果与理论值存在一定误差，可能是忽略了电感的电阻所导致。

5.5 根据实验任务(4)中取得的数据，求出衰减系数 δ 和阻尼振荡角频率 ω_d ，再根据 R、L、C 参数算出 δ 和 ω_d ，并进行比较。

根据原始实验记录中的数据：

$R = 3k\Omega$ 时， $T = 1.480ms$ ， $U_{m1} = 940mV$ ， $U_{m2} = 80mV$ ，故：

$$\omega_d = \frac{2\pi}{T} = 4245.395 \text{ rad/s}$$

$$\delta = \frac{1}{T} \ln \frac{U_{m1}}{U_{m2}} = 1664.477s^{-1}$$

根据 RLC 参数计算得到的 δ 和 ω_d ：

$$\delta = \frac{1}{2RC} = 1666.667s^{-1}$$

$$\omega_d = \sqrt{\omega_0^2 - \delta^2} = 4149.967 \text{ rad/s}$$

计算得到误差如下：

$$e(\delta) = 0.13\% \text{ (实际值比理论值小)}$$

$$e(\omega_d) = 2.30\% \text{ (实际值比理论值大)}$$

5.6 实验结论

对于微分电路，时间常数 $\tau = RC$ 很小时 ($\tau \leq 0.1T$)，输出电压 u_o 近似与输入电压 u_i 对时间的微分成正比。

对于积分电路，当时间常数 $\tau = RC$ 很大时 ($\tau \geq 10T$)，输出电压 u_o 近似与输入电压 u_i 对时间的积分成正比。

在 RLC 串联电路中，当 $R > 2\sqrt{\frac{L}{C}}$ 时，过渡过程呈非周期性，当 $R < 2\sqrt{\frac{L}{C}}$ 时，过渡过程中的电压、电流具有衰减振荡的特点

在 RLC 串联电路中，当 $R > 2\sqrt{\frac{L}{C}}$ 时，过渡过程呈非周期性，当 $R < 2\sqrt{\frac{L}{C}}$ 时，过渡过程中的电压、电流具有衰减振荡的特点

5.7收获

通过本实验，我们对 RC 微分电路和积分电路的过渡过程，以及 RLC 二阶电路的过渡过程有了进一步的深入理解；学会了示波器的基本使用方法；了解了 RC 电路 τ 值对于输出波形的影响；学会了振荡电路周期的测量和计算方法。